

СТРУКТУРА ОРГАНИЧЕСКИХ СОЕДИНЕНИЙ

УДК 548.737:547.574

КРИСТАЛЛИЧЕСКИЕ СТРУКТУРЫ 4-ФЕНИЛТИОСЕМИКАРБАЗОНОВ 6-МЕТИЛ- И 6-БРОМ-2-ФОРМИЛПИРИДИНА

© 2011 г. Ю. М. Чумаков, В. И. Цапков¹, Б. Я. Антосяк, Ю. А. Симонов, С. Янелли²,
Н. Н. Байрак¹, А. П. Гуля¹, С. А. Паломарес-Санчес³

Институт прикладной физики АН Молдовы, Кишинев

E-mail: vtsapkov@gmail.com

¹ Молдавский государственный университет, Кишинев

² Институт материалов для электроники и магнетизма, Парма, Италия

³ Автономный университет Сан Луис Потоси, Мексика

Поступила в редакцию 19.02.2010 г.

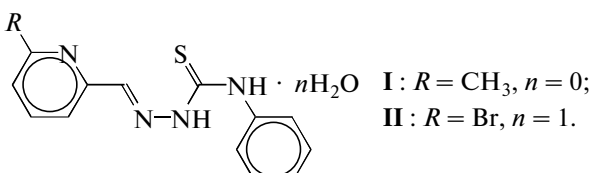
Синтезированы новые тиосемикарбазоны: 4-фенилтиосемикарбазон 6-метил-2-формилпиридина (I) и гидрат 4-фенилтиосемикарбазона 6-бром-2-формилпиридины (II) и определено их строение. Молекулы I и II практически неплоские с поворотом на 19.9° и 39.5° фенильного радикала при терминальном атоме азота. Основным фактором, определяющим упаковку молекул II в кристалле, является молекула воды.

ВВЕДЕНИЕ

Тиосемикарбазид и его производные $R^1R^2N^1-N^2H-C^3(=S)-N^4R^3R^4$ образуют устойчивые координационные соединения практически со всеми переходными металлами. В зависимости от природы заместителей у терминальных атомов азота проявляются свойства соединения как основы для создания фармацевтических препаратов. В [1] показано, что соединения этого класса находят применение при лечении многих заболеваний.

Одной из задач препаративной химии является получение новых производных тиосемикарбазида, определение их физико-химических свойств и строения. В [2–6] показано, что биологическая активность веществ хорошо согласуется с их строением. В связи с этим синтез и изучение структурных особенностей производных тиосемикарбазида представляет как научный, так и практический интерес.

В настоящей работе представлены результаты определения методом рентгеноструктурного анализа (РСА) кристаллических структур 4-фенилтиосемикарбазона 6-метил-2-формилпиридины (I) и гидрата 4-фенилтиосемикарбазона 6-бромо-2-формилпиридины (II).



ЭКСПЕРИМЕНТАЛЬНАЯ ЧАСТЬ

Синтез. Соединение I получено по следующей методике: к раствору, содержащему 10 ммоль 6-метил-2-формилпиридина в 20 мл этанола, при перемешивании и нагревании (50–55°C) на водяной бане прибавляют раствор, содержащий 10 ммоль 4-фенилтиосемикарбазида в 30 мл этанола. При этом образуется раствор светло-оранжевого цвета, из которого при медленном выпаривании в течение суток выпадает желто-оранжевое мелкокристаллическое вещество (выход 60%); его промывают небольшим количеством этанола и сушат на воздухе. Состав установлен на основании данных элементного анализа.

Найдено, %: C 61.97; H 5.01; N 20.48; S 11.70.

Для C₁₄H₁₄N₄S

вычислено, %: C 62.20; H 5.22; N 20.72; S 11.86.

Соединение II получено с выходом 69% от теоретически рассчитанного при взаимодействии этанольных растворов 6-бром-2-формилпиридины с 4-фенилтиосемикарбазидом, взятых в молярном отношении 1 : 1.

Найдено, %: C 44.01; H 3.47; Br 22.49; N 15.80; S 8.91

Для

C₁₃H₁₃BrN₄OS

вычислено, %: C 44.19; H 3.68; Br 22.66; N 15.89; S 9.07.

Соединения I и II хорошо растворимы в диметилформамиде и диметилсульфоксида, а при нагревании – в воде и спиртах, практически нерас-

Таблица 1. Кристаллографические характеристики, данные эксперимента и уточнение структур I и II

Соединение	I	II
Химическая формула	$C_{14}H_{14}N_4S$	$C_{26}H_{24}Br_2N_8OS_2$
M	270.35	688.47
Сингония, пр. гр., Z	Ромбическая, $Pna2_1$, 4	Моноклинная, $C2/c$, 4
a , Å	24.063(5)	19.360(1)
b , Å	8.137(2)	10.636(1)
c , Å	7.229(1)	21.524(1)
β , град	90	139.71(1)
V , Å ³	1415.4(5)	2866.2(3)
D_x , г/см ³	1.269	1.595
Излучение; λ , Å	MoK α : 0.71069	MoK α : 0.71069
μ , см ⁻¹	2.20	30.10
T , К	293(2)	293(2)
Размеры образца, мм	0.15 × 0.25 × 0.10	0.20 × 0.10 × 0.12
Дифрактометр	Siemens AED	Siemens AED
Тип сканирования	0/20	0/20
θ_{\max} , град	25.68	29.06
Пределы h , k , l	$-29 \leq h \leq 25$ $-8 \leq k \leq 9$ $-4 \leq l \leq 8$	$-25 \leq h \leq 25$ $-14 \leq k \leq 14$ $-28 \leq l \leq 26$
Число отражений: измеренных/независимых (N_1), R_{int}/c при $I > 2\sigma(I)$	1455/1455, 0.000/1272	15445/3458, 0.1080/2073
Метод уточнения	МНК по F^2	МНК по F^2
Весовая схема*	$K_1 = 0.0552$, $K_2 = 0.0536$	$K_1 = 0.0678$, $K_2 = 0.2861$
Число параметров	173	178
R_1/wR_2 по N_1	0.0417/0.0965	0.0859/0.1416
R_1/wR_2 по N_2	0.0355/0.0918	0.0473/0.1200
S	1.071	1.006
$\Delta\rho_{(\text{max})}, \Delta\rho_{(\text{min})}, \text{э/А}^3$	0.159, -0.119	0.384, -0.530
Программы	SHELX97	SHELX97

* $w = 1/[\sigma^2(F_o^2) + (K_1 \times P)^2 + K_2 \times P]$, где $P = (\text{Max}(F_o^2, 0) + 2F_c^2)/3$.

творимы в эфире. Их монокристаллы, пригодные для РСА, получены перекристаллизацией из этанольно-диметилсульфоксидного (5 : 1) раствора.

Рентгеноструктурный анализ. Структуры I и II решены прямыми методами. Основные параметры эксперимента и уточнения структур приведены в табл. 1. Атомы водорода включены в уточнение в геометрически рассчитанных позициях, а их температурные факторы U_H приняты в 1.2 раза большими, чем у связанных с ними атомов углерода и кислорода. Некоторые межатомные расстояния и валентные углы приведены в табл. 2. Координаты базисных атомов исследованных структур депонированы в Кембриджский банк структурных данных (CCDC № 733171, 733172). Геометрические расчеты и рисунки выполнены с

помощью программы PLATON [8], для представления упаковок структур оставлены только те атомы водорода, которые участвуют в водородных связях. Для анализа полученных структур использовались данные Кембриджского банка структурных данных (версия 5.30) [9, 10].

ОПИСАНИЕ СТРУКТУР

На рис. 1 представлено строение фрагментов кристаллических структур соединений I и II и нумерация атомов в них. Второе соединение кристаллизуется в виде моногидрата, где молекула H_2O играет принципиальную роль в организации упаковки в кристалле. При этом в II образуются центросимметричные димеры за счет водородных

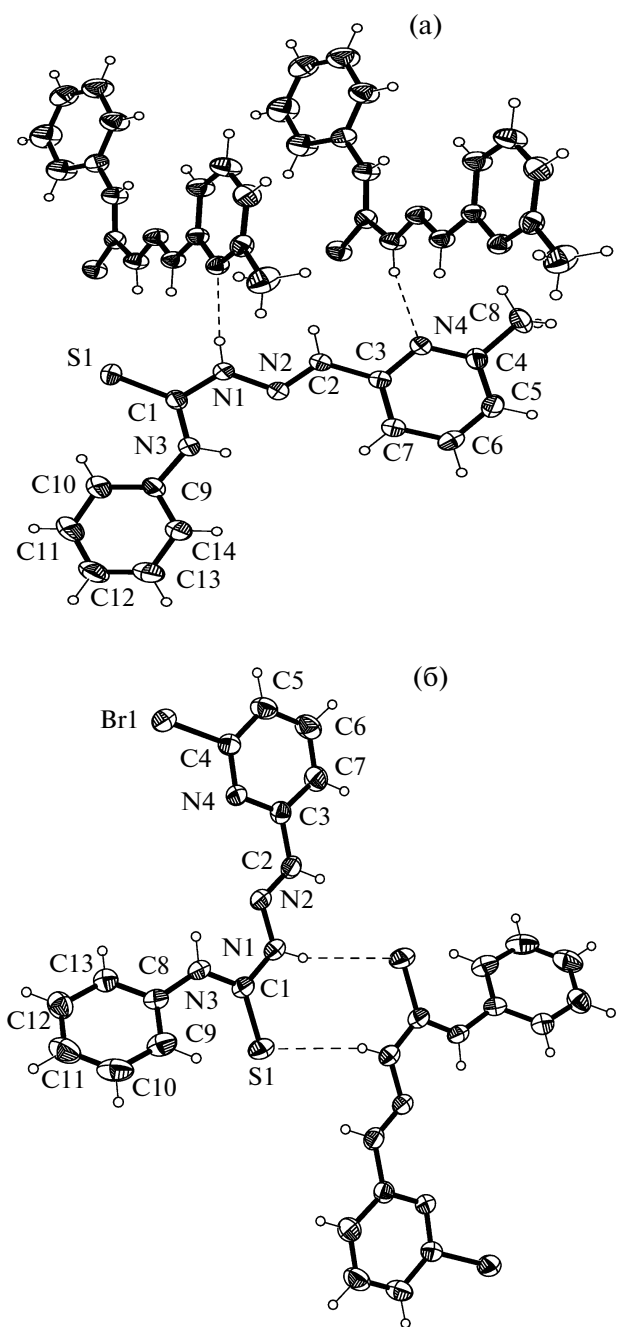


Рис. 1. Фрагмент кристаллической структуры I (а), строение центросимметричного димера в соединении II (молекула H_2O опущена) (б).

связей $\text{N}1-\text{H}\cdots\text{S}1$ ($1/2-x, -1/2-y, -z$) (рис. 1б, табл. 3).

В обоих соединениях, так же как и в других тиосемикарбазидах и тиосемикарбазонах [5, 6, 11, 12], заместители при связях $\text{N}1-\text{C}1$ и азометиновых связях $\text{N}2-\text{C}2$ находятся в *E*-положении. Фрагменты $A(\text{S}1\text{N}1\text{N}2\text{N}3\text{C}1\text{C}2)$ в обеих молекулах практически плоские, средние отклонения от определяемых ими плоскостей составляют 0.014 и

Таблица 2. Некоторые межатомные расстояния и валентные углы для структур I и II

Связь	$d, \text{\AA}$	
	I	II
Br1—C4		1.900(3)
C8—C4	1.491(5)	
S1—C1	1.674(3)	1.678(3)
N1—N2	1.371(3)	1.355(3)
N1—C1	1.353(4)	1.368(4)
N2—C2	1.275(4)	1.275(3)
C2—C3	1.454(4)	1.455(4)
N3—C1	1.349(4)	1.331(4)
N3—C8		1.419(4)
N3—C9	1.406(4)	
N4—C3	1.343(3)	1.355(4)
N4—C4	1.344(4)	1.311(4)
Угол	$\omega, \text{град}$	
N4—C4—Br1		115.7(2)
C5—C4—Br1		118.7(2)
N4—C4—C8	117.7(3)	
C5—C4—C8	121.3(3)	
S1—C1—N1	118.4(2)	118.1(2)
S1—C1—N3	127.7(2)	127.1(2)
N3—C1—N1	113.9(3)	114.8(2)
N2—N1—C1	120.1(2)	119.7(2)
C2—N2—N1	117.0(2)	117.0(2)
N2—C2—C3	121.0(3)	121.1(3)
N4—C3—C2	115.2(2)	118.7(2)
C7—C3—C2	122.6(3)	120.2(3)
C1—N3—C8		115.5(2)
C1—N3—C9	132.2(3)	

0.003 \AA соответственно. При этом молекула I не-плоская: среднеквадратичные плоскости ее фенольного и пиридинового циклов $B(\text{C}9-\text{C}14)$ и $C(\text{C}3\text{N}4-\text{C}7)$ образуют с фрагментом A углы 19.9° и 3.6° соответственно. В молекуле II аналогичные углы равны 39.5° и 6.6° . При этом в I и II углы между плоскостями B и C равны 17.5° и 43.9° . В исследованных молекулах наблюдается отличие в положении пиридинового цикла. В II атом N4 находится в синконформации по отношению к атому N2 (торсионный угол $\text{N}2-\text{C}2-\text{C}3-\text{N}4$ равен 2.2°), тогда как в I реализуется антиконформация, соответствующий торсионный угол составляет 178.2° .

В I и II длины связей в тиосемикарбазонных фрагментах, указывающие на их делокализацию в этих цепочках, согласуются с данными [5, 6, 11,

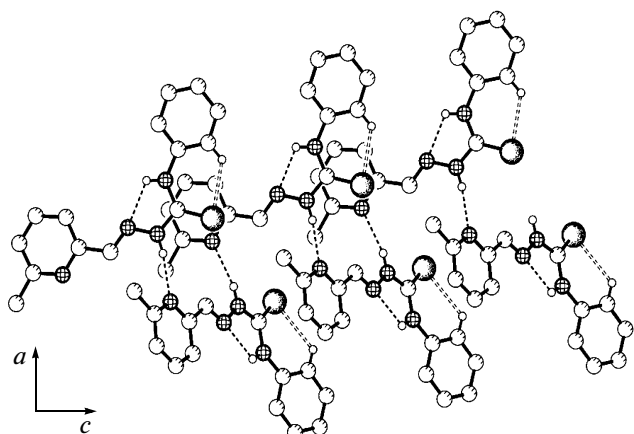


Рис. 2. Образование Н-связанной цепочки в I.

[12]. Атом углерода метильной группы и атом брома, связанные с кольцом *C*, располагаются в его плоскости. Максимальные отклонения неводородных атомов в 6-метил- и 6-бромформилпиридиновом фрагментах исследуемых веществ не превосходят 0.02 и 0.023 Å соответственно. При этом в I и II различие длин связей N4—C4 составляет 0.033 Å. В II расстояние Br—C (1.860(4) Å) удлинено по сравнению с таковым в тиосемикарбазоне 2-бромбензальдегида на 0.04 Å [5].

В молекулах I и II имеются две донорные группы (N1—H и N3—H), способные образовывать системы Н-связей. Основу для формирования кристаллической структуры I образует фрагмент, представленный на рис. 1а. Базисная молекула образует как донор (и акцептор) с соседними молекулами водородные связи N1—H...N4 длиной 3.017 Å. Дальнейшее развитие приводит к образованию ленты вдоль оси *c* кристалла. Остальная донорная способность молекулы I направлена на образование связей N3—H...N2 и C9—H...S1 (рис. 2, табл. 3). В кристалле помимо ван-дер-ва-

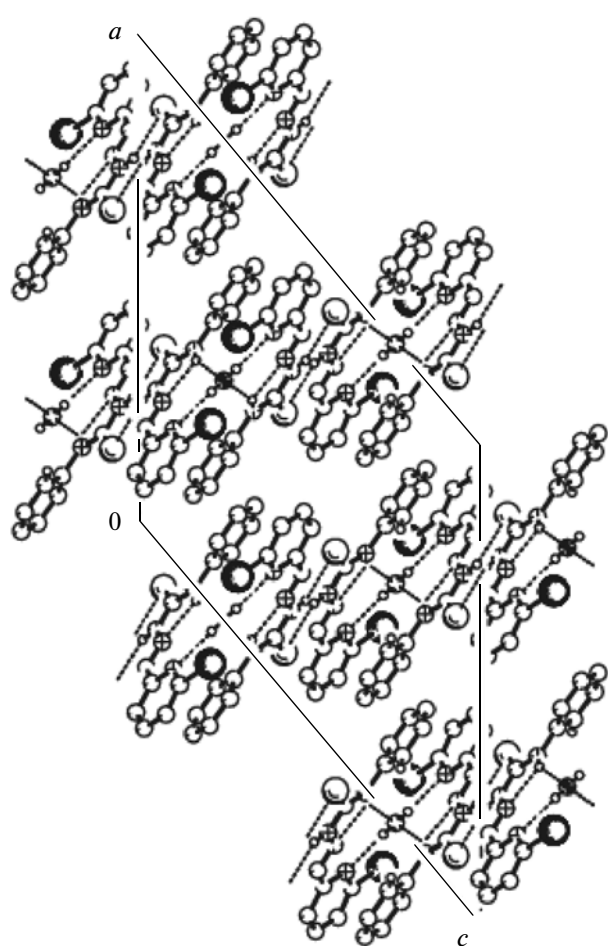


Рис. 3. Фрагмент упаковки соединения II.

альсова взаимодействия между цепочками осуществляется также взаимодействие $X\cdots Cg(\pi\text{-кольцо})$ ($H\cdots Cg < 3.0 \text{ \AA}$, $\gamma < 30.0^\circ$, где γ — угол между вектором $H\cdots Cg$ и нормалью к ароматическому циклу [8, 13]). Так, для взаимодействия C8—

Таблица 3. Геометрические параметры водородных связей в структурах I и II

Связь <i>D</i> —H... <i>A</i>	Расстояние, Å			Угол DHA, град.	Координаты атома <i>A</i>
	<i>D</i> —H	H... <i>A</i>	<i>D</i> ... <i>A</i>		
I					
N1—H1...N4	0.86	2.18	3.017	166	$-x, 1 - y, 1/2 + z$
N3—H3...N2	0.86	2.12	2.588	113	x, y, z
C10—H10...S1	0.93	2.63	3.255	125	x, y, z
II					
N1—H1...S1	0.86	2.71	3.524	159	$1/2 - x, -1/2 - y, -z$
O1w—H1w...N4	0.80	2.22	2.989	160	x, y, z
N3—H2...O1w	0.86	2.11	2.905	153	x, y, z
C9—H9...S1	0.93	2.81	3.269	112	x, y, z

$\text{H}8B\cdots\text{Cg}(C)$ расстояние между атомом $\text{H}8B$ и центром C равно 2.88 \AA , а угол γ равен 12.2° .

В кристалле **II** димеры, представленные на рис. 1б, объединяются между собой кристаллизационной молекулой воды в бесконечные зигзагообразные цепочки вдоль направления $[1\ 0\ 1]$ за счет водородных связей $\text{O}1W-\text{H}\cdots\text{N}4$ и $\text{N}3-\text{H}\cdots\text{O}1W$ (рис. 3, табл. 3). Как и в **I**, в исследованном соединении наблюдаются также внутримолекулярные водородные связи $\text{N}3-\text{H}\cdots\text{N}2$ и $\text{C}9-\text{H}\cdots\text{S}1$. Между цепочками в кристалле осуществляется ван-дер-ваальсовое взаимодействие.

Таким образом, показано, что при наличии объемных заместителей при терминальных атомах азота конформация тиосемикарбазидного фрагмента не изменяется. В зависимости от природы заместителя в шестом положении формил-пиридинового фрагмента (электронодонорная метильная группа в **I** и электроноакцепторный атом Br в **II**) происходит поворот пиридинового цикла относительного связи $\text{C}2-\text{C}3$, что служит причиной принципиального изменения упаковки в кристалле.

СПИСОК ЛИТЕРАТУРЫ

1. *Машковский М.Д. // Лекарственные средства. Минск: Белоруссия. 1987. Т. 2. С. 277.*
2. *Биошкин В.Н., Чумаков Ю.М. // Химико-фармацевтический журнал. 1982. Т. 9. С. 1090.*
3. *Levac V.M., Jovanovic L.S., Divjakovic V. et al. // Polyhedron. 2007. V. 26. P. 49.*
4. *Rapheal P.F., Manoj E., Prathapachandra Kurup M.R., Suresh E. // Polyhedron. 2007. V. 26. P. 607.*
5. *Chun-Ying Duan, Yu-Peng Tian, Cun-Yuan Zhao et al. // Polyhedron. 1997. V. 16. P. 2857.*
6. *Vrdoljak V., Cindric M., Milic D., Matkovi-alogovi D. et al. // Polyhedron. 2005. V. 24. P. 1717.*
7. *Sheldrick G.M. SHELX97. Program for the Solution and Refinement of Crystal Struture. University of Gottingen, Germany. 1997.*
8. *Spek A.L. // J. Appl. Cryst. 2003. V. 36. P. 7.*
9. *Bruno I.J., Cole J.C., Edginton P.R. et al. // Acta Cryst. B. 2002. V. 58. P. 389.*
10. *Allen F.H. // Acta Cryst. B. 2002. V. 58. P. 380.*
11. *Боурош П.Н., Ревенко М.Д., Гданец М.И. и др. // Журн. структур. химии. 2009. Т. 30. № 1. С. 520.*
12. *Чумаков Ю.М., Биошкин В.Н., Бодю В.Г. // Журн. структур. химии. 1987. № 3. С. 493.*
13. *Malone, Murray, Charlton et al. // J. Chem. Soc., Faraday Trans. 1997. P. 3429.*